

信州大学工学部 正 佐々木八郎
 " 正 余越正一郎
 " 大学院 学の有賀良夫

1. 流れにさう入れられた物体の後には渦が発生し、交互に下流に向って枚かれ、又列に並ぶ渦列を形成する。流れの平均流速を U 、物体の流れに直角方向の巾を D 、発生する渦の周波数を ν とすれば、ストローハル数 $St = \nu D/U$ はレイノルズ数 $Re = UD/v$ の広い範囲にわたりほぼ一定値をとることが古くからよく知られている。ここで v は動粘性係数である。Fig.1 に示すものは円柱に発生する渦のストローハル数と抵抗係数を示したものである。 Re が $5 \times 10^2 \sim 2 \times 10^5$ の範囲にわたりストローハル数はほぼ一定値 0.2 をとっていることがわかる。この範囲は抵抗係数 C_d が一定の範囲と大体一致している。このような性質を利用して、河川の橋脚後流に発生する渦の周波数の測定から流速を推定するかどうかを検討してみる。

2. 普通、橋脚の巾は 10^2 cm、流速も 10^2 cm/s 以上であるから動粘性係数を用いたレイノルズ数は 10^6 以上にもなる。このようないいレイノルズ数では Fig.1 からみてストローハル数は 0.2 より急速に大きくなつて、広いレンジアビリティの流速測定が不可能なようになる。

しかし宇宙からの写真によると大きさが 50 km 程度の島の後側にも規則正しいカルマン渦の発生がしばしば見られ、そのストローハル数は 0.2 に近い値となることが知られている。このときのレイノルズ数は動粘性係数 v を計算すると 10^{10} 程度にも達する。これは Fig.1 と矛盾するようになるが、実は渦動粘性係数を用いてレイノルズ数を計算すると 200 程度の値となりカルマン渦の発生条件に一致していることがわかる。したがって、河川の場合でもカルマン渦の発生は充分期待できる。 $\beta = St/Re$ とすると、 $10^{-3} < \beta < 2.5 \times 10^{-3}$ のとき円柱背後にカルマン渦列が形成されることが Lin によって示されている。表 1 は

低水時の干曲川の 3 種類の橋についてストローハル数を実測した結果である。橋脚断面はいずれも図示の形状であった。橋脚の左右で水深が異なり流速が違うため、

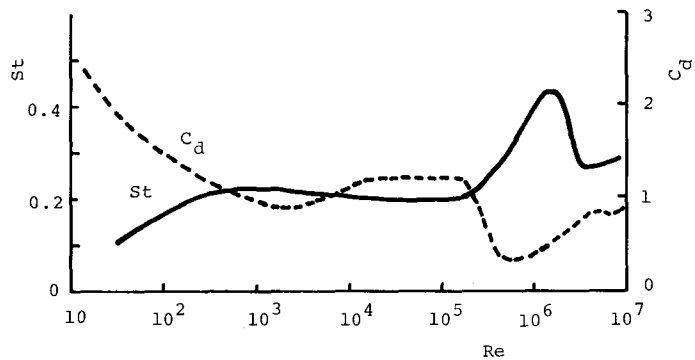
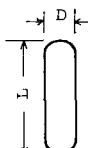


Fig. 1 円柱のストローハル数 (Roshko)

表 1

L (m)	D (m)	L/D	U (m/s)	St	UD/v
9.5	3.0	3.1	1.1	0.19	3.3×10^6
9.4	3.4	2.8	1.7	0.22	2.3
5.6	1.8	3.1	1.3	0.11	2.3



流れが橋脚の縦軸に完全に平行でない場合もあり、必ずしも満足のいく測定が行なわれなかつた。また渦の状態も不明の場合が多かつた。さうに多くの実測、ことに高水時の測定を行う必要がある。

3. 物体の左右の流速の違いが、発生するストローハル数に与える影響を調べてみる。1m²mのコンクリート製水路の右半分の水路床を10cm高くし、そこに角柱を設置してストローハル数を実測する。角柱の軸がちょうど水路の中央にくらようFig. 2のように配置する。深い側の流速は $U_1 = 39.0 \text{ cm/s}$ 、浅い方の流速は $U_2 = 27.5 \text{ cm/s}$ であった。発生する渦は著しく左右非対称であるが、周期性はない、と認められた。 U_1 にちびくストローハル数を St_1 、 U_2 にちびくストローハル数を St_2 として結果を表

2に示す。渦発生周期

期は色素流し系の動きを併用して測定したものである。

結果をみると、さう

に入物体の大きさによ

りストローハル数が

かなり異なるといふ

ことがわかる。ま

た左右のストローハ

ル数の平均もかなり

の中で変化してい

ることがわかる。円柱を用いて同様

な実験をした結果とも同一の傾向を

示していった。

4. 物体の軸が平均流の方向に平行でない場合のストローハル数を調べてみる。ストローハル数の計算には、物体を流れに直角の面に射影した上で使用している。(Fig. 3)

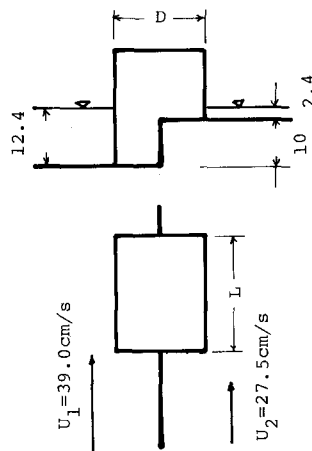


Fig. 2

表. 2

D(cm)	L(cm)	St ₁	St ₂	mean
20	39	0.12	0.17	0.15
20	78	0.13	0.18	0.16
20	117	0.12	0.17	0.15
38	39	0.21	0.30	0.25
38	78	0.21	0.30	0.25
38	117	0.24	0.35	0.29
38	10	0.24	0.34	0.29
38	20	0.23	0.33	0.28
38	30	0.22	0.32	0.27

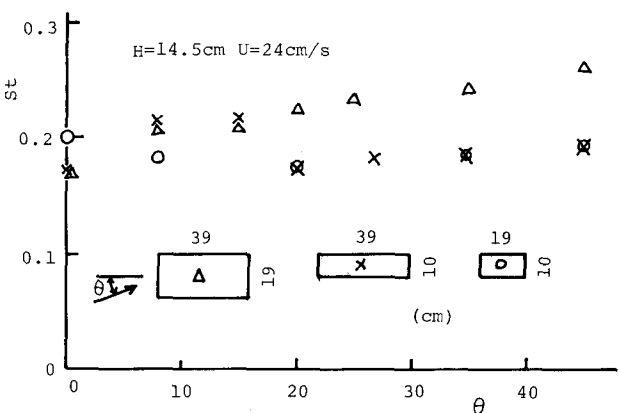


Fig. 3

5. カルマン渦を利用して流速測定は管路の平均流速測定に実用化され

ているが、いろいろ複雑な条件が入ってくる実河川ではなかなか困難なようである。しかし、うまくカルマン渦が発生する場合には並に渦動粘性係数の評価に利用できることもわからぬ。